

آشکارسازی کور سیگنال‌های طیف گستردۀ دنباله مستقیم چند کاربره با کمک معیارهای نظریه اطلاعات

فرید صمصامی خداداد^۱، قوشہ عابد هدتنی^۲

۱- دانشجوی دکتری مخابرات، گروه برق، دانشکده مهندسی، دانشگاه فردوسی مشهد

۲- دانشیار گروه مخابرات، گروه برق، دانشکده مهندسی، دانشگاه فردوسی مشهد

(دریافت: ۹۲/۰۹/۱۱، پذیرش: ۹۳/۰۳/۰۵)

چکیده

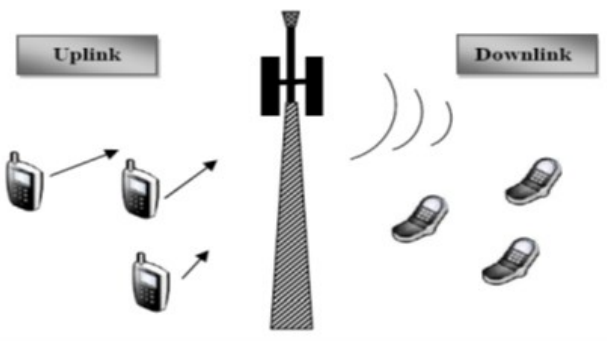
در این مقاله یک روش جدید برای آشکارسازی کور و همچنین شمارش تعداد کاربران فعال در سیستم طیف گستردۀ دنباله مستقیم چند کاربره غیر همزمان بر اساس تئوری اطلاعات پیشنهاد شده است. دو دسته مهم معیارهای تئوری اطلاعاتی در جداسازی منابع به صورت کور مورد استفاده قرار می‌گیرند، معیارهای AIC و MDL در روش پیشنهادی از هر دو معیار استفاده شده است. روش پیشنهادی برخلاف سایر روش‌های ارائه شده بجای آرایه‌ای از آنتن‌ها تنها به یک آنتن نیاز دارد، که این امر موجب کاهش هزینه و پیچیدگی سخت افزاری می‌شود. شبیه سازی‌ها و نتایج عددی متنوع صحت ادعای ما را در توانایی روش ارائه شده در آشکارسازی تعداد کاربران در سیگنال‌های همبسته و در سیگنال به نویزهای ضعیف و محیط چند مسیره همراه با ازرمق افتادگی نشان می‌دهد.

واژه‌های کلیدی: تئوری اطلاعات، تجزیه مقادیر ویژه، روش زیرفضا، سیگنال طیف گستردۀ دنباله مستقیم چند کاربره، کانال چند مسیره با ازرمق افتادگی

۱. مقدمه

افزون بر مشکلاتی که در سیستم‌های چند کاربره نقطه به نقطه مانند تداخل بین سمبول‌ها و نویز جمع‌شونده وجود دارد، در سیستم‌های چند کاربره باید بر تداخل بین کاربرهایی که از کانال مشترک استفاده می‌کنند نیز غلبه کرد. روش متعارف مقابله با تداخل چند کاربره، هماهنگ‌کردن فرستنده‌هاست؛ به گونه‌ای که ازت داخل اجتناب شود. به عنوان مثال، دسترسی چندگانه تقسیم فرکانس و دسترسی چندگانه تقسیم زمان، قراردادهایی هستند که هر فرستنده را به باند (فرکانسی) منحصر به فردی و بازه منحصر به فرد یا زمان محدود می‌کنند. دسترسی چندگانه تقسیم کد یا به اختصار CDMA، شیوه‌ای است که به هر کاربر، کد گسترش منحصر به فردی را تخصیص می‌دهد. سیستم دسترسی چندگانه با تقسیم کد دنباله مستقیم از بهترین روش‌های ارتباط سیار

سیستم‌های مخابراتی که در آن‌ها کاربرهای مختلف از یک کانال مشترک یا واسطه انتقال مشترک استفاده می‌کنند، به عنوان چند کاربره یا سیستم‌های دسترسی چندگانه شناخته می‌شوند. شاید شبکه‌های بی‌سیم، بهترین مثال از این سیستم‌ها باشد. در این شبکه‌ها تعدادی کاربر متحرک با یک ایستگاه مرکزی از طریق یک واسطه مشترک (هوا)، ارتباط برقرار می‌کنند. در سال‌های اخیر، سیستم‌های مشابهی به وجود آمداند که بسیار مورد توجه قرار گرفته‌اند. این سیستم‌ها اکنون بخش در حال گسترشی از زیرساخت مخابرات جهان را تشکیل می‌دهند. از این‌رو، نظریه مخابرات چند کاربره به حوزه فعلی در تحقیقات بدل شده است و روزبه‌روز بر اهمیت آن افزوده می‌شود [۱].



شکل ۱. مدل ساده از مسیر فروسو و فراسو در ارتباط بی‌سیم

Verdú در [۵] نشان داده است که سطح نهایی عملکرد قابل دستیابی در CDMA را نویز محیطی مشخص می‌کند و نه تداخل چندکاربره یا تداخل بین سمبولی. برای نیل به این سطح از کارآیی، آشکارساز بهینه در سیستم‌های DS\CDMA به موارد زیر نیاز دارد تا بتواند تداخل چندکاربره را حذف کند [۶]:

(۱) کد گسترش طیف کاربر مطلوب

(۲) کد گسترش طیف سایر کاربران تداخل گر

(۳) تعداد کاربران فعال

(۴) زمان‌بندی (لحظه شروع بیت و فاز حامل) کاربر مطلوب

(۵) زمان‌بندی (لحظه شروع بیت و فاز حامل) سایر کاربران تداخل گر

(۶) دامنه دریافتی سیگنال کاربران تداخل گر (نسبت به دامنه دریافتی سیگنال کاربر مطلوب)

(۷) دنباله آموزشی برای هر کاربر

پیاده‌سازی آشکارساز بهینه از لحظه عملی تقریباً غیرممکن است، چرا که اطلاعات مورد نیاز هیچ‌گاه در سمت گیرنده موجود نیست، از این‌رو آشکارسازهای کور اهمیت پیدا می‌کنند. از دیدگاه مخابرات تجاری، آشکارسازهای چندکاربره کور معمولاً تنها به موارد یک و چهار نیاز دارند یعنی به کد گسترش طیف و زمان‌بندی کاربر مطلوب. از دیدگاه، دیگر آشکارساز(ی) را کور می‌نامند که به دنباله آموزشی نیاز نداشته باشد [۷].

در اغلب روش‌های آشکارسازی کور داده در سیستم‌های چند کاربره، دانستن پیش‌فرضهایی نظری تعداد کاربران، طول کد و اطلاعات زمان‌بندی غیر قابل اجتناب است (شکل ۲). علاوه‌بر آن در آشکارسازی سیستم‌های طیف گسترده چند کاربره تجاری، دانستن

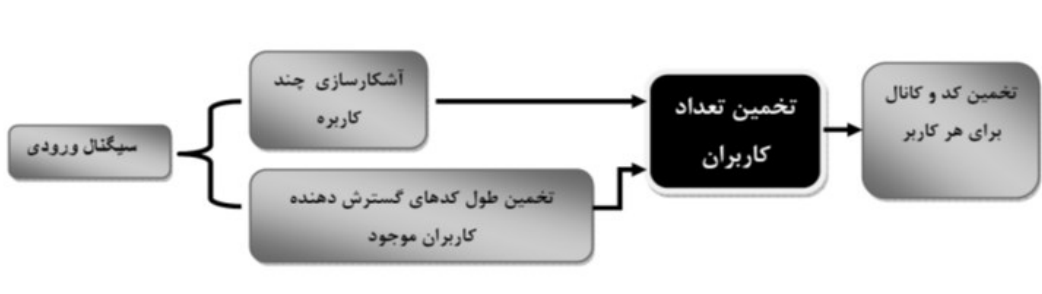
چندکاربره می‌باشد که در سال‌های اخیر مورد استفاده قرار گرفته است. در سیستم دسترسی چندگانه با تقسیم کد دنباله مستقیم DS\CDMA دو مسیر فروسو و فراسو را بهطور جداگانه می‌توان مورد بررسی قرار داد.

مسیر فروسو مسیری از ایستگاه مرکزی به طرف کاربرها است، این مسیر را کanal مستقیم می‌نامیم. در این کanal، سیگنال‌های گسترش‌یافته مربوط به همه کاربرها بهطور همزمان به‌وسیله ایستگاه مرکزی ارسال می‌شوند زیرا همه سیگنال‌ها در یک مکان (ایستگاه مرکزی) تولید می‌شوند. همه سیگنال‌ها وارد یک کanal چندمسیره یکسان با افت انتشار و محوشندگی برابر خواهند شد.

مسیر فراسو مسیری از کاربرها به ایستگاه مرکزی می‌باشد. این مسیر را کanal معکوس می‌نامیم. در کanal معکوس، دستیابی به ارسال همزمان کاربران مختلف بسیار مشکل است زیرا کاربرها از مکان‌های مختلفی اقدام به ارسال می‌نمایند. همچنین سیگنال‌های کاربران مختلف مسیرهای متفاوتی را می‌پیمایند و در نتیجه، دارای افتخارات انتشار مختلف و محوشندگی مستقل خواهند بود که سبب ایجاد سطح سیگنال‌های متفاوت در ایستگاه خواهد شد. یک مدل ساده از مسیر فروسو و فراسو با سه کاربر در شکل ۱ نشان داده شده است. به دلیل تفاوتی که مسئله از نظر همزمانی در این دو مسیر دارد، معمولاً روش‌های پردازش سیگنال متفاوتی برای هر کدام از آنها مورد استفاده قرار می‌گیرد [۲].

آشکارسازی داده‌ها در یک سیستم دسترسی چندگانه با تقسیم کد (DS\CDMA) را می‌توان از جهات مختلف مورد بررسی قرار داد. یکی از این جهات، آشکارسازی چندکاربره معمولی می‌باشد. در این مسئله فرض می‌شود گیرنده مرکزی از کد گسترش طیف همه کاربران فعال مطلع است. به این ترتیب، گیرنده به منظور آشکارسازی موثر داده‌های کاربران مختلف قادر خواهد بود اثر تداخلی سیگنال آن‌ها را حذف کرده و باعث کاهش خطأ در آشکارسازی داده‌ها شود.

در مسئله دیگر، موسوم به آشکارسازی چند کاربره کور، فرض می‌شود گیرنده تنها از کد گسترش طیف کاربر خودی مطلع است. بنابراین به منظور آشکارسازی موثر داده‌های کاربر خودی، گیرنده مجبور است به صورت کور اثر تداخل سیگنال کاربرهای دیگر را از روی سیگنال کاربر خودی حذف کند. باید توجه شود که آشکارسازی کور خود در جاتی دارد که حد نهایی به مسئله شنود ختم می‌شود، یعنی جایی که گیرنده غیر مخاطب هیچ‌گونه اطلاعاتی از سیگنال دیگری ندارد [۳] و [۴].



شکل ۲. نمودار قالبی سیستم شنود چند کاربره طیف گستردۀ دنباله مستقیم

آشکارسازی تعداد کاربران در سیستم‌های طیف گستردۀ دنباله مستقیم چند کاربره به کمک پردازش ارائه نمود. مسئله مهمی که در ارائه روش‌های آشکارسازی وجود دارد نگاه عملی و کاربردی به مدل کانال مخابراتی است که اکثر روش‌ها به این مسئله توجه نکردند و الگوریتم‌های ارائه شده برای کانال‌های AWGN^۲ و بدون در نظر گرفتن پدیده چندمسیری و محوشوندگی می‌باشد.

۱.۲. نوآوری‌های مقاله

در این مقاله نویسنده‌گان روشی نوین و کارآمد جهت آشکارسازی تعداد کاربران فعال در سیستم‌های طیف گستردۀ چند کاربره دنباله مستقیم در کانال مخابراتی چند مسیره همراه با محوشوندگی ارائه نمودند. روش ارائه شده برپایه تفکیک زیرفضای نویز و سیگنال می‌باشد و برای این تفکیک به دلیل ویژگی‌های منحصر به فرد و جذاب معیارهای تئوری اطلاعاتی از آنها استفاده شده است. روش ارائه شده به گونه‌ای است که برای سناریوی غیر همزمان نیز کارایی خود را حفظ می‌کند. علاوه بر آن، به جای استفاده از آرایه‌ای از آتن تک آتن و با کمک دایورسیتی کد گسترش دهنده به حل مسئله تخمین تعداد کاربران فعال می‌پردازد.

۱.۳. آنچه در ادامه آمده است

در بخش ۲، مدل سیستم مشخص می‌شود. در بخش ۳ پس از معرفی معیارهای تئوری اطلاعاتی MDL^۳ و AIC^۴ مسئله تفکیک زیرفضای سیگنال و نویز مطرح خواهد شد و پس از آن به کمک این معیارها بدون نیاز به سطح آستانه ضمنی تفکیک زیرفضای سیگنال و نویز صورت می‌گیرد. چرا که روش‌هایی که از یک سطح آستانه تجربی جهت تفکیک زیرفضای سیگنال و نویز استفاده می‌کنند.

با تغییر شرایط محیطی نیاز به محاسبات و ملاحظات جدیدی برای سطح آستانه دارند که این امر پایداری و دقت الگوریتم را به

- 2. Additive white Gaussian noise channel
- 3. Minimum description length
- 4. Akaike information criterion

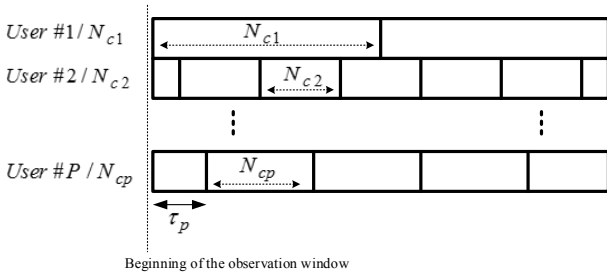
تعداد کاربران فعال کمک شایانی به افزایش کارآیی سیستم آشکارسازی می‌کند، چرا که با شمارش تعداد کاربران فعال و شناسایی آن‌ها می‌توان اثر آن‌ها را از مجموع سیگنال‌های رسیده به گیرنده حذف و غلبه بر تداخل چند کاربره را تسهیل نمود [۸] و [۹]. از دیگر کاربردهای آشکارسازی تعداد کاربران می‌توان به مسئله جهت‌یابی اشاره کرد. در بسیاری از روش‌های وارد شونده به آرایه آتن نیاز است؛ صحیحی از تعداد سیگنال‌های وارد شونده به جهت‌یابی به تخمین چرا که اگر جهت سیگنال مشخص باشد با جهت‌دهی بیم آتن می‌توان اثر مزاحم سیگنال‌های دیگر را به طور قابل ملاحظه‌ای کاهش داد و یا به طور معکوس، اثر تخریبی موثری بر روی سیگنال فرستنده غیر مخاطب داشت. از این‌رو هدف این مقاله ارائه یک روش نوین و کارآمد جهت تخمین تعداد کاربران فعال در یک سیستم مخابرات طیف گستردۀ چند کاربره می‌باشد [۱۰] و [۱۱].

۱.۱. مروری بر روش‌های شمارش کاربران و تحقیقات

پیشین

در زمینه آشکارسازی تعداد کاربران فعال در سیگنال‌های طیف گستردۀ دنباله مستقیم چند کاربره با توجه به اهمیت موضوع تحقیقات کمی صورت گرفته است. تحقیقات در این زمینه به چند کلاس مختلف تبدیل می‌شود، دسته اول معیارهای تئوری اطلاعاتی Kailath و Wax و MDL^۵ می‌باشد که اولین بار توسط زمینه، معیار PDL^۶ می‌باشد که توسط Valaee در [۱۴] ارائه گردید. Kailath و Wax تنها سیگنال‌های باند باریک را مورد تحقیق قرار دادند و توجهی به سیگنال‌های باند وسیع مانند CDMA نداشتند. علاوه بر آن، روش آنها و همچنین اکثر روش‌های آشکارسازی و شمارش تعداد کاربران از آرایه‌ای از آتن‌ها جهت پردازش سیگنال ورودی استفاده می‌کنند. که این امر علاوه بر افزایش هزینه سخت‌فراری برای گیرنده غیر مخاطب، کاربر را با مشکل افزایش حجم گیرنده مواجه می‌کند. در مقاله [۱۵] نویسنده روشی جهت

- 1. predictive description length



شکل ۳. سیگنال کاربرهای سیستم در کانال تک مسیره

$$y(n) = \sum_{i=0}^{P-1} \sum_{k=-\infty}^{\infty} d_i(k) c_i(n - kN_c - \tau_i) + w(n) \quad (2)$$

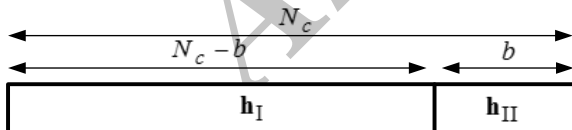
با تقسیم داده‌های دریافتی در پنجره‌های زمانی بدون اشتراک به طول یک نمونه از داده‌های قرار گرفته در یک پنجره را به صورت $\mathbf{y}(\mathbf{n}) = [y(n), \dots, y(n - (N_c - 1))]^T$ خواهیم داشت. با جمع آوری داده‌های پنجره متوالی در یک ماتریس $N \times N_c$ به صورت زیر داریم:

$$Y = \begin{pmatrix} y(n) & y(n - N_c) & \dots & y(n - (n-1)N_c) \\ \vdots & \vdots & \vdots & \vdots \\ y(n - N_c - 1) & y(n - 2N_c - 1) & \dots & y(n - NN_c - 1) \end{pmatrix} \quad (3)$$

که به صورت خلاصه خواهیم داشت:

$$Y = (\mathbf{y}(n), \mathbf{y}(n - N_c), \dots, \mathbf{y}(n - (N-1)N_c)) \quad (4)$$

از آنجایی که طول پنجره برابر طول یک سمبول می‌باشد، در هر پنجره همواره قسمت انتهایی از کد گسترش طیف به طول b_i چیپ و به دنبال آن، قسمت ابتدایی کد گسترش طیف به طول b_i چیپ قرار خواهد داشت، که b_i تأخیر پنجره نسبت به کد تکرار شونده کاربر آم در سیگنال ارسالی می‌باشد.



شکل ۴: داده‌های قرار گرفته کاربر آم در یک پنجره نوعی برای کانال تک مسیره

بنابراین ماتریس \mathbf{Y} را به صورت زیر می‌توان نوشت:

$$\mathbf{Y} = \sum_{i=0}^{P-1} (c_1^i + c_{\Pi}^i) \mathbf{d}_i^T \quad (5)$$

c_1^i بردار شامل $N_c - b_i$ چیپ آخر کد گسترش طیف کاربر آم به همراه b_i چیپ صفر و c_{Π}^i بردار شامل $N_c - b_i$ چیپ صفر به همراه b_i چیپ ابتدایی کد گسترش طیف کاربر آم می‌باشند. که در

شدت کاهش می‌دهد. روش پیشنهادی شرح و بسط داده خواهد شد. در بخش ۴ با شبیه‌سازی و آنالیز عددی، صحت الگوریتم مطروحة تأیید خواهد شد و در پایان جمع‌بندی و نتیجه‌گیری از کار ارائه شده بیان خواهد شد.

۲. مدل سیستم طیف گسترده دنباله مستقیم چند کاربره

در این مقاله جهت شمارش تعداد کاربران و بهره‌گیری از دایورسیستی کد به جای دایورسیتی فضایی مدلی جدید ارائه می‌شود، ابتدا مدل را برای کانال تک مسیره پیاده‌سازی خواهیم کرد. با تغییرات جزئی، این مدل برای کانال‌های چند مسیره نیز قابل استفاده خواهد بود.

۲.۱. مدل ارائه شده جهت سیگنال تک مسیره

یک سیستم چند کاربره با p کاربر را در نظر می‌گیریم. در خطمشی فروسو، سیگنال این p کاربر در ایستگاه پایه با هم جمع شده و سپس ارسال می‌شود. با فرض هم‌زمان بودن کاربران با یکدیگر، سیگنال ارسالی از ایستگاه پایه پس از عبور از کانال AWGN برابر است با:

$$y(n) = \sum_{j=0}^{t-1} \sum_{i=0}^{P_j-1} \sum_{k=-\infty}^{\infty} d_{j,i}(k) c_{j,i}(n - kN_{c,j} - \tau_{j,i}) + w(n) \quad (1)$$

که در آن، $d_{j,i}(k)$ داده‌های کاربر آم از گروه j ام با کد گسترش طیف $c_{j,i}(n)$ به طول $N_{c,j}$ و تأخیر انتشار $\tau_{j,i}$ می‌باشد. $w(n)$ نیز نویز گوسی جمع شونده با میانگین صفر و واریانس σ_n^2 می‌باشد. به منظور تخمین کدهای گسترش طیف و داده‌های کاربرهای گروه‌های مختلف، از روش حذف بی‌دریبی تداخل استفاده می‌شود. یعنی پس از عملیات تخمین کدهای گسترش طیف و داده‌های کاربرهای گروه آم با بهره‌پردازشی N_{ci} سهم سیگنال آن‌ها را از سیگنال موجود حذف و کار را با کاربرهای گروه آم با بهره‌پردازشی N_{cj} ادامه می‌دهند. بنابراین از این پس بهدلیل بررسی مسئله آشکارسازی داده‌های هر گروه از کاربرها به صورت جداگانه، از اندیس j در رابطه (۱) گسترش طیف می‌کنیم و برای کاربرهای گروه آم (که دارای طول کد

۳. گسترش طیف $P_j = P$ می‌باشند) داریم (شکل ۳). [۱۶]

1- Jobs

2- knowledge, skills and abilities (KSA)

3- backup

و ماتریس همبستگی را نیز به صورت زیر خواهیم نوشت:

$$\mathcal{R}_y = \sigma_n^2 \left(\rho v_1^0 v_{\Pi}^{0 \cdot h} + \rho \sum_{i=1}^{P-1} (1-\alpha_i) v_1^i v_{\Pi}^{i \cdot h} + \alpha_i v_1^i v_{\Pi}^{i \cdot h} \right) + I \quad (10)$$

۳. روش ارائه‌شده جهت آشکارسازی تعداد کاربران فعال

۱.۳. تخمین تعداد کاربران به کمک تفکیک زیرفضای سیگنال و نویز

با فرض استقلال منابع سیگنال و نویز و مستقل بودن نمونه‌های نویز از هم و با توجه به این که نویز با میانگین صفر $E\{W(n)\} = 0$ فرض می‌شود، آمارگان مرتبه دوم داده‌های دریافتی از طریق محاسبه ماتریس خودهمبستگی $Y(n)$ به صورت زیر خواهد بود [۱۷]:

$$\mathcal{R}_Y = E\{Y(n)Y(n)^H\} = C(E\{D(n)D(n)^H\})C^H + \mathcal{R}_w \quad (11)$$

که در رابطه فوق، $E(\cdot)$ بیانگر امید ریاضی یا میانگیری آماری می‌باشد. با توجه به این که ماتریس همبستگی متقارن است، می‌توان آن را به فرم تجزیه‌پذیر به مقادیر ویژه نوشت:

$$\mathcal{R}_Y = \vec{U} \Lambda \vec{U}^H \quad (12)$$

در رابطه فوق، $\vec{U} = [\vec{U}_1, \dots, \vec{U}_p]$ که $U = [\vec{U}_1, \vec{U}_2]$ و $\vec{U}_1 = [\vec{C}_1, \dots, \vec{C}_p]$ و $\vec{U}_2 = [\vec{V}_{p+1}, \dots, \vec{V}_{N_c-p}]$ به ترتیب فضای سیگنال^۱ (یا فضای کد) و فضای نویز^۲ را تشکیل می‌دهند و Λ یک ماتریس $N_c \times N_c$ قطری است که به صورت زیر تعریف می‌شود:

$$\Lambda = \left[\sum_{i=1}^p + \sigma_w^2 \mathbf{I} \right] \quad (13)$$

که $\mathcal{R}_w = \sigma_w^2 \mathbf{I}$ و $E\{D(n)D(n)^H\} = \sum_{i=1}^p \alpha_i v_1^i v_{\Pi}^{i \cdot h}$ است. یک ماتریس قطری است و دارای N_c مرتبه است. این ماتریس p مقدار ویژه غیر صفر و $N_c - p$ مقدار ویژه کوچک نزدیک به صفر و مساوی دارد. طبق یک قرارداد معمول، مقادیر ویژه \mathcal{R}_Y را می‌توان به فرم نزولی زیر نوشت:

$$|\lambda_1| \geq |\lambda_2| \geq \dots \geq |\lambda_p| > \lambda_{p+1} = \dots = \lambda_{N_c} \equiv \sigma_n^2 \quad (14)$$

1. Code space or signal space
2. Null space

آن b تأخیر کد گسترش طیف کاربر آام نسبت به ابتدای پنجره می‌باشد. با فرض صفر بودن میانگین و ناهمبسته بودن سمبول‌های داده، ماتریس همبستگی (کوواریانس) بردار \mathbf{Y} را به صورت زیر خواهیم داشت:

$$\mathcal{R}_Y = E\{\mathbf{Y}\mathbf{Y}^H\} = \sum_{i=0}^{P-1} E\{|d_i|^2\} c_i c_i^H + \sum_{i=0}^{P-1} E\{|d_i|^2\} c_{\Pi} c_{\Pi}^H + \sigma_n^2 I \quad (6)$$

همچنین فرض می‌شود $|c_i|^2 = c_e^2$ و $\sigma_w^2 = E\{|d_i|^2\}$ که در آن c_i بردار کد گسترش طیف کاربر آام بهطول N_c می‌باشد، بردارهای نرمالیزه $c_1 = c_1 / |c_1|^2$ ، $c_{\Pi} = c_{\Pi} / |c_{\Pi}|^2$ به ترتیب به صورت تعريف می‌شوند.

باتوجه به تقسیم یکنواخت انرژی در طول کد گسترش طیف، $|c_{\Pi}|^2 = ((N_c - b_i)/N_c) c_e^2$ و $|c_{\Pi}|^2 = (b_i/N_c) c_e^2$ بود. باتوجه به روابط فوق ماتریس همبستگی زیر را خواهیم داشت [۳۶]:

$$\mathcal{R}_Y = \sigma_n^2 \left(\rho \sum_{i=1}^{P-1} (1-\alpha_i) v_1^i v_{\Pi}^{i \cdot h} + \alpha_i v_1^i v_{\Pi}^{i \cdot h} \right) + I \quad (7)$$

که در آن، ρ ضریب سیگنال به نویز و تداخل نسبت به یک کاربر می‌باشد. $\alpha_i = b_i/N_c$ نیز تأخیر نرمالیزه شده کاربر آام می‌باشد. نتیجه مهمی که از رابطه (7) می‌توان گرفت این است که ماتریس همبستگی داده‌های دریافتی \mathcal{R}_Y دارای ۲p مقدار ویژه متمایز می‌باشد (یعنی دو برابر تعداد کاربران). به عبارتی، هنگامی که پنجره پردازشی با کاربران (یا کاربران با یکدیگر) همزمان نباشند، مقادیر ویژه مربوط به سیگنال، دو برابر تعداد کاربران خواهد بود. از این‌رو یک سیستم DS-CDMA ناهمزمان با کاربر را می‌توان با یک سیستم DS-CDMA همزمان با کاربر مدل کرد. به طور کلی مقادیر ویژه \mathcal{R}_Y به صورت زیر می‌باشد [۱۶]:

$$\begin{cases} \sigma_i^1 = \sigma_n^2 (\rho(1-\alpha_i) + 1) & , i = 0, \dots, P-1 \\ \sigma_i^{\Pi} = \sigma_n^2 (\rho\alpha_i + 1) & , i = 0, \dots, P-1 \\ \sigma_i = \sigma_n^2 & , i = 2P, \dots, N_c \end{cases} \quad (8)$$

در اینجا فرض می‌کنیم ابتدای پنجره به نحوی قرار گیرد که مثلًاً تأخیر کاربر اول نسبت به پنجره صفر شود ($\alpha_0 = 0$). در این صورت مقادیر ویژه ماتریس \mathcal{R}_Y به صورت زیر خواهند بود [۱۶]:

$$\begin{cases} \sigma_0^1 = \sigma_n^2 (\rho + 1) \\ \sigma_i^1 = \sigma_n^2 (\rho(1-\alpha_i) + 1) & , i = 1, \dots, P-1 \\ \sigma_i^{\Pi} = \sigma_n^2 (\rho\alpha_i + 1) & , i = 1, \dots, P-1 \\ \sigma_i = \sigma_n^2 & , i = 2P-1, \dots, N_c \end{cases} \quad (9)$$

MDL و AIC موارد خاصی از (۱۶) هستند و توسط مینیمم‌سازی اندازه AIC و MDL حاصل می‌شوند. تخمین‌گرهای AIC و MDL را در زیر می‌بینید:

$$\hat{K}_{AIC} = \arg_k \min(k) = \arg_k \min \left\{ -2 \log(f_y(Y | \hat{\theta}^{(k)})) + 2|\Theta_k| \right\} \quad (17)$$

$$\hat{K}_{MDL} = \arg_k \min(k) = \arg_k \min \left\{ -10 \log(f_y(Y | \hat{\theta}^{(k)})) + 0.5 |\Theta_k| \log(N) \right\} \quad (18)$$

به طوری که $|\Theta_k|$ تعداد پارامترهای آزاد در Θ است. از آنجایی که در اغلب مسائل تعداد پارامترهای آزاد واقعی کمتر از تعداد پارامترهایی است که در نگاه اول مشاهده می‌شود، $|\Theta_k|$ مبین حداقل تعداد پارامترهایی است که به طور کامل $(Y | \theta^{(k)})$ را توصیف کند. توجه کنید که در تخمین‌گرهای AIC و MDL تنها هنگامی تابع آمارگان مرتبه دوم هستند که $f_y(Y | \theta^{(k)})$ دارای توزیع گوسی باشد. بنابراین برای استخراج روابط موجود، فرض‌های زیر الزامی است:

- سیگنال منبع $\{d(k)\}$ سفید، مختلط، ایستان، فرآیند تصادفی ارگادیک^۱ گوسی، با میانگین صفر و دارای ماتریس همبستگی مثبت معین است.
- بردار نویز $w(n)$ سفید، مختلط، ایستان، فرآیند تصادفی ارگادیک گوسی، مستقل از سیگنال با میانگین صفر و دارای ماتریس همبستگی $\sigma_w^2 I$ است.
- همه المان‌های ماتریس کانولوشن کانال (در اینجا ماتریس نگاشت دهنده) C ، نامعلوم فرض شده است، تنها محدودیت مرتبه کامل بودن آن است.
- $N_c > P$ باید باشد.
- در بخش بعدی نحوه به دست آمدن این معیارها، برای مسئله به دست آوردن تعداد کاربران، شرح داده می‌شود.

۳. تخمین تعداد کاربران فعال سیگنال طیف گستردۀ

چند کاربره با کمک معیارهای نظریه اطلاعات برای تشخیص تعداد کاربران باید خانواده‌ای از چگالی‌ها را تعریف کرده و محاسباتمان را بر روی آن انجام دهیم. از خانواده ماتریس

1. Log-likelihood function
2. Ergodic

که در رابطه فوق، λ_i ‌ها از ۱ تا p مقادیر ویژه سیگنال و باقیمانده مقادیر ویژه نویز می‌باشند (کوچکترین مقادیر ویژه) و σ_n^2 واریانس نویز می‌باشد. به این ترتیب از روی تعداد کوچکترین مقادیر ویژه با اندازه مساوی، که تعداد آنها $N_c - P$ است، می‌توان تعداد کاربران را تشخیص داد.

همان‌طور که می‌دانیم، عملًا امکان محاسبه امید ریاضی داده‌های دریافتی وجود ندارد اما در شرایطی که اغلب در عمل برقرار است، می‌توان از میانگین‌گیری زمانی به جای میان‌گین‌گیری آماری استفاده کرد. بنابراین آمارگان مرتبه دوم داده‌های دریافتی به صورت زیر قابل محاسبه خواهد بود:

$$\mathcal{R}_Y = \lim_{N \rightarrow \infty} \frac{1}{N} \sum_{n=0}^{N-1} (Y_n Y_n^H)^{-1} \quad (15)$$

در نتیجه اگر ماتریس همبستگی داده‌های دریافتی با یک نرخ نمونه برداری محدود تخمین زده شود، تمام مقادیر ویژه‌ای که از این ماتریس حاصل می‌شود با احتمال یک متفاوت خواهند بود و در نتیجه به راحتی نمی‌توان از برابری مقدار $N_c - P$ ویژه برای بدست آوردن تعداد کاربران استفاده کرد. به دلیل وابسته بودن الگوریتم به سطح آستانه تجربی، کارآیی الگوریتم در SNR‌های پایین و همچنین در محیط‌های چند مسیره بسیار ضعیف خواهد بود. در این مقاله ما از معیارهای تئوری اطلاعات برای رفع این مشکل استفاده می‌کنیم، در نتیجه، ابتدا آشنایی مختصری با این معیارها پیدا می‌کنیم. سپس روش کار را برای آشکارسازی تعداد کاربران شرح خواهیم داد.

۲.۳. خط مشی AIC و MDL

خط مشی تئوری اطلاعات، خط مشی عمومی برای انتخاب مدلی مناسب از خانواده‌ای از مدل‌های ممکن است که حداقل تناسب را با داده داشته باشد [۱۸ و ۱۹]. به بیان دیگر، با یک خانواده پارامتری از توزیع‌های تصادفی داده شده $(y | \theta^{(k)})$ برای مقادیر مختلف k در ضوابط تئوری اطلاعاتی، به صورت زیر انتخاب می‌شود:

$$k = \arg \min \left(-L(\theta^{(k)}) + P(k) \right) \quad (16)$$

که در آن، $L(\theta^{(k)}) = \log f_y(y | \theta^{(k)})$ تابع شباهت لگاریتمی^۲ مشاهدات $[Y_1, Y_2, \dots, Y_N]$ را دارد. $P(k)$ تابع جریمه عمومی مربوط به خانواده k ام و $\hat{\theta}^{(k)} = \arg \min_{\theta^{(k)} \in \Theta_k} f_y(y | \theta^{(k)})$ می‌باشد. از $\hat{\theta}^{(k)}$ معمولاً به عنوان تخمین حداقل شباهت (ML) پارامترهای معلوم با فرض k امین خانواده توزیع‌ها یاد می‌شود. تخمین‌گرهای

$$\hat{\lambda}_i = L_i \quad i = 1, \dots, k$$

$$\hat{\sigma}_s^2 = \frac{1}{N_c - k} \sum_{i=k+1}^{N_c} L_i \quad (24)$$

$$\hat{V}_i = C_i \quad i = 1, \dots, k$$

$L_1 > L_2 > \dots > L_{N_c}$ و C_1, \dots, C_{N_c} به ترتیب مقادیر ویژه ماتریس نمونه $\hat{\mathcal{R}}$ می‌باشند. با جایگذاری جواب تخمین‌گرها یعنی در (۲۳) و با ساده‌سازیتابع ماکریزم شbahت را به دست می‌آوریم:

$$L(\hat{\theta}) = \log \left(\frac{\prod_{i=k+1}^{N_c} l_i^{\frac{1}{N_c-k}}}{\frac{1}{N_c - k} \sum_{i=k+1}^{N_c} l_i} \right)^{(N_c-k)NN_c} \quad (25)$$

توجه کنید که عبارت داخل پرانتز نسبت میانگین هندسی به میانگین حسابی کوچکترین $(N_c - k)$ مقدار ویژه است.

اکنون می‌توانیم معیارهای AIC و MDL را جهت تشخیص تعداد زیرفضای سیگنال بیان کنیم:

$$AIC(k) = -2 \log \left(\frac{\prod_{i=k+1}^{N_c} l_i^{\frac{1}{N_c-k}}}{\frac{1}{N_c - k} \sum_{i=k+1}^{N_c} l_i} \right)^{(N_c-k)NN_c} + 2k(2N_c - k) \quad (26)$$

$$MDL(k) = -\log \left(\frac{\prod_{i=k+1}^{N_c} l_i^{\frac{1}{N_c-k}}}{\frac{1}{N_c - k} \sum_{i=k+1}^{N_c} l_i} \right)^{(N_c-k)NN_c} + 0.5k(2N_c - k) \log NN_c \quad (27)$$

از آنجا که در این حالت، کانال تک‌مسیره و همچنین پنجره پردازشی با کاربران همزمان فرض شده است، AIC_{MDL} و \hat{K}_{MDL} (که تعداد زیرفضای سیگنال را نشان می‌دهند) مقدار مینیمم AIC(k) و MDL(k) بوده و برابر با تعداد کاربران هستند. در صورتی که در اکثر موارد (به احتمال $(N_c - 1)/N_c$) پنجره پردازشی با کاربران همزمان نمی‌باشد. در این حالت طبق استدلالی که در بخش (۲.۱) نمودیم تعداد مقادیر ویژه سیگنال دوبرابر حالت همزمان خواهد بود.

برای حل این مشکل می‌توان یکبار الگوریتم را برروی داده دریافتی و بار دیگر برروی شیفت‌یافته آن اعمال کرد. در این صورت به احتمال واحد در یکی از دو حالت پنجره پردازشی با سیگنال کاربران ناهمزمان خواهد بود. نهایتاً طبق آنچه که گفتیم تعداد

همبستگی که در (۱۶) آمده است شروع می‌کنیم و آن را به صورت زیر بازنویسی می‌کنیم:

$$\mathcal{R}^{(k)} = \Psi^{(k)} + \sigma_n^2 I \quad (19)$$

که $\Psi^{(k)}$ یک ماتریس نیمه مثبت با مرتبه k بوده و σ_n^2 واریانس نویز است که کمیتی نامعلوم می‌باشد و $k \in \{0, 1, \dots, N_c - 1\}$ تمام مقادیر ممکنی که می‌تواند تعداد کاربران، داشته باشند را دربر می‌گیرد. که در آن $C E[D(t).D^H(t)]C^H \Psi^{(k)} = C E[\mathcal{R}(t)]$ می‌باشد. با کمک نمایش طیفی معروف از تئوری جبر خطی [۱۵] را به صورت زیر نمایش می‌دهیم:

$$\mathcal{R}^{(k)} = \sum_{i=1}^k (\lambda_i - \sigma_s^2) V_i V_i^H + \sigma_n^2 I \quad (20)$$

که $\lambda_1, \dots, \lambda_k$ و V_1, \dots, V_k به ترتیب مقادیر ویژه و بردارهای ویژه ماتریس $\mathcal{R}^{(k)}$ می‌باشند. بردار پارامتر $\theta^{(k)}$ را به صورت زیر تعریف می‌کنیم:

$$\theta^{(k)} = (\lambda_1, \dots, \lambda_k, \sigma_s^2, V_1^T, \dots, V_k^T) \quad (21)$$

حال با کمک بردار پارامتر و مدلی که از تئوری اطلاعات داریم، شروع به حل مسئله آشکارسازی تعداد زیرفضای سیگنال (دراین حالت تعداد کاربران) می‌کنیم. از آنجا که مشاهدات را به صورت بردار گویی، ایستان و مستقل از هم و با میانگین صفر در نظر می‌گیریم، چگالی احتمال شرطی توأم مشاهدات به صورت زیر تعریف می‌شود:[۲۱]

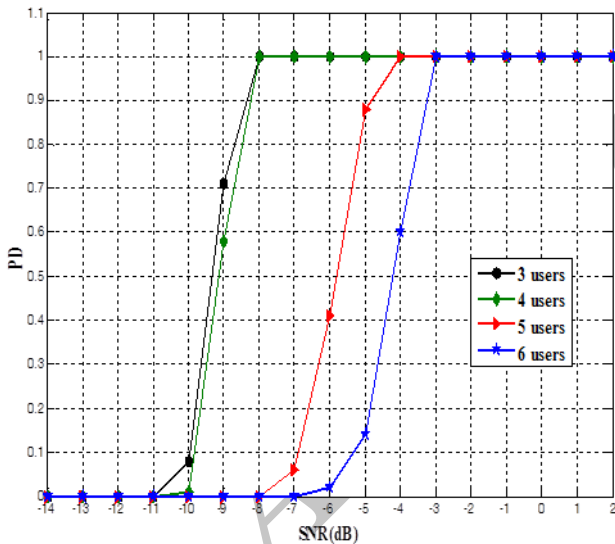
$$f(Y(t_1), \dots, Y(t_N) | \theta^{(k)}) = \prod_{i=1}^N \frac{1}{\pi^p \det R^{(k)}} \exp \left(-Y^H(t_i) [\mathcal{R}^{(k)}]^{-1} Y(t_i) \right) \quad (22)$$

با لگاریتم‌گیری و حذف جملاتی که به پارامتر $\theta^{(k)}$ مربوط نیستند، تابع شباهت لگاریتمی که آن را $L(\theta^{(k)})$ نامیدیم به دست می‌آید.

$$L(\theta^{(k)}) = -N \log \det \mathcal{R}^{(k)} - \text{tr} [\mathcal{R}^{(k)}]^{-1} \hat{\mathcal{R}} \quad (23)$$

که در آن $\hat{\mathcal{R}} = \frac{1}{N_b} \sum_{i=1}^N Y(t_i) Y(t_i)^H$ ماتریس کوواریانس^۱ تجربی می‌باشد. بیشینه نمودن رابطه (۲۳) مسئله تخمین را حل نموده که جواب آن به صورت زیر به دست می‌آید:

تعداد کاربران در نظر گرفته ایم. در اینجا فرض شده است سیستم سیگنالی با مدولاسیون BPSK را روی کانال ارسال و از کد گسترش طیف گلد استفاده می کند. کانال چندمسیره نیز کانالی با پاسخ ضربه محدود می باشد. به علاوه، تأخیر کانال نیز تصادفی و با توزیع یکنواخت روی یک سمبول داده کاربر در نظر گرفته شده است. نتایج، میانگین خروجی ۱۰۰ تکرار مستقل از هم آزمایش می باشد؛ همچنین تعداد مشاهدات برابر ۱۰۰۰ سمبول داده است. ابتدا نتایج شبیه سازی ها برای یک سیستم DS-CDMA با طول کد گسترش طیف ۳۱ برای تمام کاربران و کانال چندمسیره AWGN نسبت به تغییرات SNR برای تعداد کاربران مختلف آورده شده است. همانطور که انتظار می رفت با افزایش تعداد کاربران، کارایی تخمین گر کاهش می یابد و نتایج شبیه سازی نیز همین امر را اثبات می کند، چرا که با افزایش تعداد کاربران تداخل بین کاربران زیاد می شود. از دیدگاه تحلیل مقادیر ویژه نیز با افزایش تعداد کاربران تعداد مقادیر ویژه سیگنال افزایش یافته و تفکیک آن از مقادیر ویژه نویز سخت تر خواهد شد (شکل ۵).



شکل ۵. احتمال تشخیص درست تعداد کاربران فعال نسبت به تغییرات SNR به ازای تعداد کاربران ۳، ۴، ۵ و ۶ در کانال AWGN با طول کد گسترش دهنده $N_c = 31$.

در ادامه در شکل ۶ کارایی الگوریتم پیشنهادی را با تغییر بهره پردازش یا طول گسترش دهنده مورد بررسی و آنالیز قرار می دهیم. همانطور که مشاهده می شود و طبق انتظار با افزایش بهره پردازش کارایی الگوریتم بهبود چشمگیری می یابد. در شکل ۷ نتایج شبیه سازی ها برای یک سیستم DS-CDMA چهار کاربره با طول کد گسترش طیف ۳۱ برای تمام کاربران و کانال های مخابراتی AWGN و Rayleigh Specular آورده شده است. در انتهای الگوریتم آشکارسازی

کاربران برابر نصف بیشینه تعداد مقادیر ویژه سیگنال در دو حالت ذکر شده است.

۴.۳. تخمین تعداد کاربران فعال سیگنال طیف گستردۀ چند کاربره با کمک معیا های تئوری اطلاعاتی در محیط چند مسیره

با توجه به این که سیگنال کاربران پس از برخورد به موانع گوناگون و با تأخیرهای مختلف به گیرنده می رسند، مدل کانال واقعی میان ایستگاه پایه و گیرنده باید چند مسیره انتخاب گردد. برای مدل چندمسیره رابطه (۱) را به صورت زیر اصلاح می کنیم:

$$y_c(t) = \sum_{i=1}^p \sum_{n=-\infty}^{+\infty} d_{i_n} g_i(t-nT_s) + W(t) \quad (28)$$

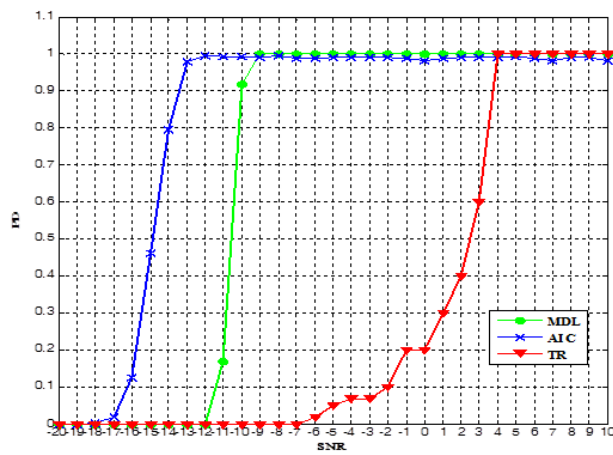
که در رابطه فوق (t) کانال معادل، حاصل ترکیب کانولوشنی کد گسترش طیف کاربر آلم و کانال چند مسیره به صورت رابطه (t) می باشد. اگر $g_i(t) = C_i(t) * h(t)$ کانال چند مسیره بین ایستگاه پایه و گیرنده با طول پاسخ ضربه محدود L_m باشد، طول پاسخ ضربه کانال، معادل (t) می باشد. بر حسب چیپ برابر $L = L_m + N_c - 1$ به صورت خواهد بود. در این حالت ماتریس نگاشت دهنده C به g تبدیل می شود:

$$G = \begin{pmatrix} g_1(0) & \dots & g_p(0) \\ \vdots & \ddots & \vdots \\ g_1(N_c) & \dots & g_p(N_c) \end{pmatrix}_{N_c \times p} \quad (29)$$

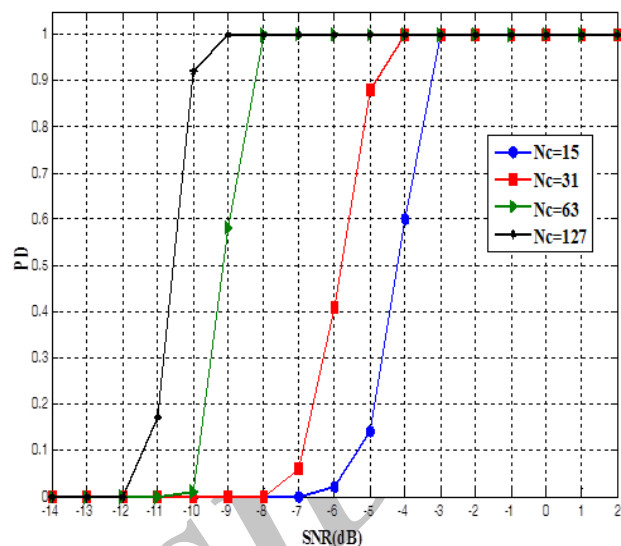
در این حالت به دلیل پدیده چند مسیرگی، تعداد مقادیر ویژه مربوط به سیگنال در ماتریس خودهمبستگی داده های دریافتی (R_γ) دیگر برابر تعداد کاربران نیست. در اینجا فرض می کنیم که مجموع تأخیر ناشی از چند مسیرگی و ناهمزمانی پنجره پردازشی با کاربران، از طول کد گسترش طیف (N_c) تجاوز نکند. در این شرایط طبق آنچه که در بخش (۱،۲) گفتم، تعداد کاربران نصف تعداد مقادیر ویژه خواهد بود، در صورتی که مجموع این تأخیر از N_c تجاوز کند، نیاز به تخمینی از طول پاسخ ضربه کانال معادل یا به عبارتی مرتبه کانال می باشد.

۴. شبیه سازی

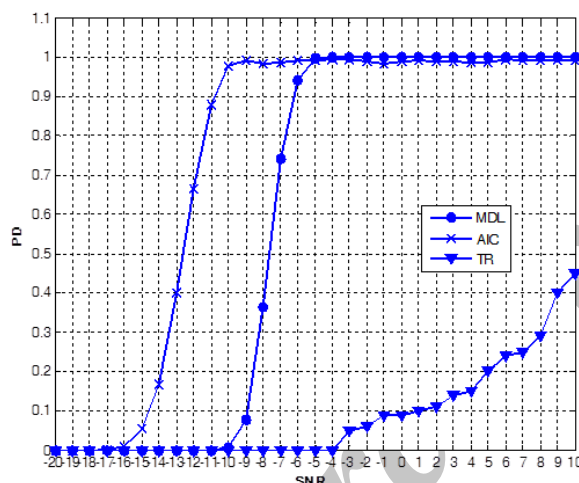
در این بخش به کمک شبیه سازی به بررسی کارآیی روش بیان شده می پردازیم. معیار بررسی کارآیی را احتمال تشخیص صحیح



شکل ۸. مقایسه کارایی الگوریتم‌های پیشنهادی تئوری اطلاعاتی MDL و AIC الگوریتم مبتنی بر سطح آستانه (TR) در کanal مخابراتی AWGN با طول کد ۱۲۷ و ۳ کاربر.

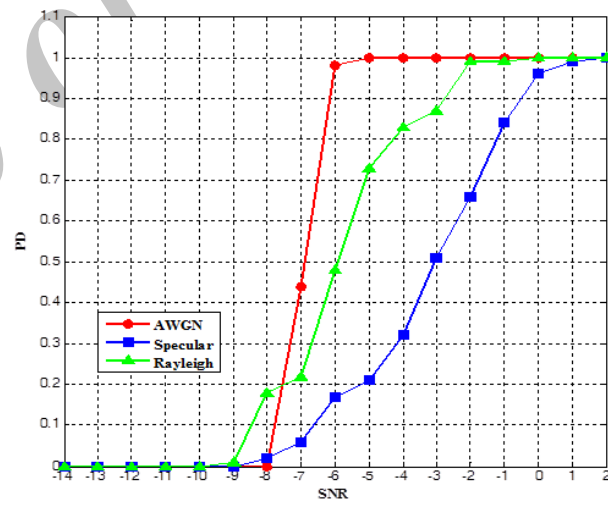


شکل ۶. احتمال تشخیص درست تعداد کاربران فعال نسبت به تغییرات به ازای طول کدهای (N_c) ۱۵، ۳۱، ۶۳ و ۱۲۷ در SNR (dB) با ۵ کانال AWGN با ۳ کاربر.



شکل ۹. مقایسه کارایی الگوریتم‌های پیشنهادی تئوری اطلاعاتی MDL و AIC الگوریتم مبتنی بر سطح آستانه (TR) در کanal مخابراتی چند مسیره با طول کد ۱۲۷ و ۳ کاربر.

کردیم برتری قابل ملاحظه‌ای نسبت به آن دارد. الگوریتم (TR) در کanal چند مسیره کارآیی خود را از دست می‌دهد؛ در حالی که روش ارائه شده همچنان قابل اعتماد است. در شکل ۹ سناریوی قبلی برای کanal چندمسیره تکرار شده است که دلالت بر کارایی الگوریتم پیشنهادی در محیط‌های عملی همراه با پدیده چند مسیره‌گی دارد.



شکل ۷. احتمال تشخیص درست تعداد کاربران فعال نسبت به تغییرات SNR به ازای طول کد ۱۲۷ و ۶۳، ۳۱ و ۱۵ در کانال‌های مخابراتی AWGN، Specular و Rayleigh با ۳ کاربر.

و شمارش تعداد کاربران را با الگوریتم ارائه شده Dogan و Mendel [۲۲] که آن را با ((TR)) نمایش داده‌ایم مقایسه می‌کنیم(شکل ۸). روش ارائه شده در [۲۲] تعداد کاربران را به کمک جستجوی پیاپی بر پایه آزمون فرض محاسبه می‌کند.

همان‌گونه که در شکل ۸ قابل مشاهده است، الگوریتم مبتنی بر سطح آستانه (TR) در کanal تکمسیره و در SNR های پایین، قادر به تشخیص صحیح تعداد کاربران نمی‌باشد و الگوریتمی که ارائه

۴.۱ الگوریتم Mendel و Dogan

در این روش ابتدا نسبت $\sum_{i=1}^N \lambda_i / \sum_{i=1}^M \lambda_i$ را محاسبه کرده و سپس در هر مرحله \hat{M} را یک واحد افزایش می‌دهیم، در اولین مرحله‌ای

- tions Applications Conference (SIU), 2012 20th , vol., no., pp.1,4, 18-20 April 2012.
- [4] Marvin K. Simon, Jim K. Omura, Robert A. Scholtz, Barry K. Levitt Spread SpectrumCommunication Handbook, McGraw-Hill, 2002
- [5] S.verdú_ , " Minium probability of Error for Asynchronous GaussianMultiple Access Channels ,IEEE Trans. On Information Theory, Vol. 32,pp.85-96,Jan 1986.
- [6] M.Honig, U. Madhow, and S.verdú,"Blind Adaptive Multiuser Detection,"IEEE Trans. On Information Theory, vol.41, on .4, pp 944-960, 1995.
- [7] Jiang Zhang; Hang Zhang; Zhifu Cui, "Dual-antenna-based blind joint hostile jamming cancellation and multi-user detection for uplink of asynchronous direct-sequence code-division multiple access systems," Communications, IET , vol.7, no.10, pp.911,921, July 2, 2013.
- [8] Ricieri Castro e Souza, A.; Mussi, A.M.; de Oliveira Ribeiro, R.; Abrao, T., "Local Search Detection in Multiple Access DS/CDMA Networks," Latin America Transactions, IEEE (Revista IEEE America Latina) , vol.10, no.2, pp.1482,1488, March, 2012.
- [9] X. Liu, K. Chan Teh and E. Gunawan, "Interference Identification and Blind Multiuser Detection for Asynchronous CDMA Systems With Multipath Fading," IEEE Trans.On Communication, vol. 55, no. 12, Dec. 2007.
- [10] A. A. EL-Sallam, "Model Selection-Based Blind Adaptive Channel Estimation Algorithms for Parsimonious Receivers in CDMA Systems," ISSNIP 2008.
- [11] D. Angelosante, E. Biglieri, and M. Lops, "Multiuser Detection in a Dynamic Environment-Part II: Joint User Identification and Parameter Estimation," IEEE Trans. On Information Theory, vol. 55, no. 5, May 2009.
- [12] M. Wax and I. Ziskind, "Detection of the number of coherent signals bythe MDL principle," IEEE Trans. Acoustics, Speech, and Signal Processing, vol. 37, pp. 1190-1196, Aug. 1989.
- [13] M. Wax, "Detection and localization of multiple sources via thestochastic signals model," IEEE Trans. Signal Processing, vol. 39, pp. 2450-2455, Nov. 1991.
- [14] S. Valaee and P. Kabal, "An information theoretic approach to source enumeration in array signal processing," IEEE Trans. Signal Procesing, vol. 52, No. 5, May. 2004.
- [15] S. Valaee and S. Shahbazpanahi, "Detecting the Number of Signals in Wireless DS-CDMA Networks," IEEE Trans. Communication, vol. 56, No. 7, pp. 1189-1197, July 2008.
- [16] C. N. Nsiala, R. Gautier, G. Burel "Parallel blind multi-user synchronization and sequence Estimation in multi-rate CDMA transmision", Proc. 40th Asilomar Conference on Signals, Systems and Computers, Pacific Grove,, 2006.

که نسبت، $\sum_{i=1}^{\hat{P}} \lambda_i / \sum_{i=1}^N \lambda_i$ از مقدار سطح آستانهای که مقدار آن به صورت تجربی تعین می شود تجاوز کند. استفاده شده در این مرحله را به عنوان تعداد کاربران تشخیص داده و جستجو را متوقف می کنند.

۵. نتیجه‌گیری

تحمین تعداد کاربران یکی از مهمترین پارامترها در طراحی گیرندهای طیف گسترده بوده و دانستن آن موجب کاهش بار محاسباتی و سختافزاری گیرنده می شود. از سوی دیگر، در اکثر روش‌های جهتیابی دانستن تعداد کاربران فعال سیستم، امری اجتناب‌ناپذیر می باشد [۲۲]. در این مقاله، یک روش جدید و کارآمد جهت شمارش تعداد کاربران فعال در سیستم‌های طیف گسترده دنباله مستقیم چندکاربره در سناریوی غیر همزمان ارائه شد، همان‌طور که اشاره کردیم اکثر روش‌های ذکر شده، از تجزیه مقادیر ویژه سیگنال و نویز استفاده می کنند یا به عبارتی، به تفکیک زیرفضای سیگنال و نویز می پردازنند. از این رو می توان گفت اکثر روش‌های ذکر شده بر پایه زیرفضا می باشند. همچنین اکثر روش‌ها از یک آرایه آتنی جهت شمارش تعداد کاربران استفاده می کنند. اشکال عمده این روش‌ها، هزینه بالا و پیچیدگی‌های سختافزاری جهت پیاده‌سازی است. از میان روش‌های ذکر شده معیار تئوری اطلاعات را به دلیل عدم نیاز به سطح آستانه و قابلیت پیاده سازی توسعه یک آتن، تفکیک زیرفضای سیگنال و نویز برگزیدیم. به کمک معیارهای تئوری اطلاعاتی MDL و AIC و با استفاده از یک آتن، روشی کارآمد جهت آشکارسازی تعداد کاربران در کانال چندمسیره ارایه گردید. روش ارائه شده جهت تشخیص تعداد کاربران فعال سیستم چندکاربره دنباله مستقیم تنها به طول کد گسترش‌دهنده طیف و یک آتن نیاز دارد. همچنین در آن فرض شده است که مجموع تأخیر ناشی در عبور از کانال چندمسیره و ناهمزمانی پنجره پردازشی با سیگنال کاربران از طول کد گسترش طیف بیشتر نباشد.

۶. مراجع

- [1] J. G. Proakis; Digital Cummunication; Third Edition, Mac-Graw Hill; 1995.
- [2] M. K. Tsatsanis and G. B. Giannakis, "Multirate filter banks for code division multipleaccess systems," Proc. Int. Conf. Acoust., Speech, Signal Processing, Detroit, MI, May 8–12, vol. 2, pp. 1484–1487, 1995.
- [3] Zeybek, M.; Ertug, O., "Minimum BER multi-user detection for time-varying frequency selective fading DS-CDMA channels," Signal Processing and Communica-

- [21] C-M. Cho and P.M. Djuric, "Detection and localization of multiple sources via Bayesian and predictive densities," IEEE International Conference on Acoustics, Speech, and Signal Processing, vol. 4, pp. 57-60, Apr. 1993.
- [22] M. C. Dogan and J. M. Mendel, "Single sensor detection and classification of multiple sources by higher order spectra," Proc. IEEE, vol. 140, pp. 350–355 Dec. 1993.
- [23] Ilangakoon, Chathura; Yahampath, Pradeepa, "On joint source-channel decoding and interference cancellation in CDMA-based large-scale wireless sensor networks," *Acoustics, Speech and Signal Processing (ICASSP), 2013 IEEE International Conference on*, vol., no., pp.4569,4573, 26-31 May, 2013.
- [17] Lerch, A. "An Introduction to Audio Content Analysis: Applications in Signal Processing and Music Informatics", Wiley-IEEE Press eBook Chapters, Copyright Year: 2012.
- [18] L. C. Zhao, P. R. Krishnaiah, and Z. D. Bai, "On detection of the number of signals in the presence of white noise," *J. Multivariate Analysis*, vol. 20, no. 1,pp. 1–20, Jan. 1986.
- [19] Marzaki, M.H.; Tajjudin, M.; Adnan, R.; Rahiman, M.H.F.; Jalil, M.H.A., "Comparison of different model structure selection using R2, MDL and AIC criterion," *Control and System Graduate Research Colloquium (ICSGRC)*, 2013 IEEE 4th , vol., no., pp.80,85, 19-20 Aug. 2013.
- [20] M. Wax, and T. Kailath, "Detection of signals by information theoretic criteria," *IEEE Trans. ASSP*, vol. 33, pp. 387-392, Apr. 1985.